

移動性降雨による洪水特性に関する実験的研究

明幸男
室田原本川
正員○員員學生
大阪大學工學部 東京都 大阪大學工學部

はじめに：現在の流出解析法は、シャーマンによる単位面法が始まりといえ、その後流域場の非線型性を考慮して、タンクモデル法や財福実数法が開発されて到った。

しかし、これらは、依然として、降雨の空間的な分布を考慮しがいものであり、その為、近年、山地小流域などで洪水災害を発生させる、移動性のある局地的豪雨の様な場合の流出モデルとして用いることには、若干、困難があろうかと思われる。

そこで、本研究では、移動性降雨域に伴う洪水ハイドログラフの特性を、実験的に調べることを目的とし、本報告では、その第一段階として、河道条件を一定に保ち、降雨条件、流域条件の変化に伴うハイドログラフの変化を調べようとしたのである。

2 実験装置と実験方法: 実験装置の概略を示すと Fig. 1 の様になる。これは、 $3m \times 8m$ の面積をもつ流域上に、 $4m \times 4m$ の降雨発生装置に所要の降雨強度を、降雨移動速度 D をセッ
トし、降雨を発生させながら移動させて、降雨セルをシミュレートしたものである。

降雨セルは、河道流下方向（正とする）とその逆方向に、移動方向を変化させることができ流域は、16の単位流域に分割し、多孔質が合成繊維のマットを張りつけたものである。

測定方法下、地点S2と地点S3にサー ボ式水位計を置き、水位一時間曲線を求めた。行は、実験のケースおよび河道の水理条件は、下記に示す通りであり、計120ケースである。

流域沟配 S_g : 0.017, 0.067, 0.133

河道勾配 $S_2: 0.002$

降雨強度 i_e : 50, 75, 100, 125 (mm/hr) 基底流量 Q_0 : 0.3 (l/s)

降雨移動速度 $D: 2.3.4.6.8 \text{ (cm/s)}$ 流域長 $L: 800 \text{ (cm)}$

降雨移動方向 D: Down, D_o

3.結果と考察：移動性降雨と一樣分布降雨との相異は、まず、ハイエトグラフの形状の違いにあろう。本実験に於ける降雨一流出の関係を模式的に示すとFig.2の通りとなる。一樣分布降雨の降雨量分布が矩形状（斜線部）となるのに対し、移動降雨のそれは台形状となり、結果、降雨は空間的にも、時間的にも広がりを

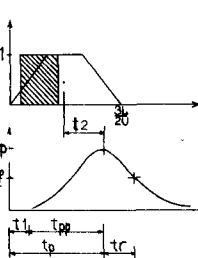


Fig 2

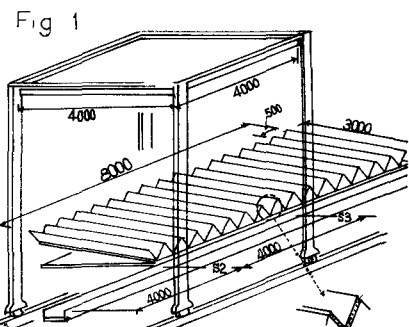


Fig.

を示していよう。しかし、この様な2次元的がハイエトグラフでは、降雨の移動方向による違いを説明できず、3次元的がハイエトグラフが必要になるかと思われる。

なお、Fig 2 に時間的特性値を示した。左：降雨開始よりのピーク生起時間、右：ピーク水深の半減する時間、左：ハイエトグラフの重心からピーク水深までの時間、 h_p ：ピーク水深、 h_{dp} ：下流移動降雨のピーク水深、 h_{up} ：上流移動降雨のピーク水深を示す。

ハイドログラフ形状の比較：移動方向による違いを示したもののが Fig 3 である。これによれば、上流へ移動する降雨(DMR)の方は立ち上がりが早く、全体的に扁平化しているのに対し、下流へ移動する降雨(UMR)の方は、急激な立ち上がりを見せ、尖度の大きな形状を示している。これに、DMR の場合、移動方向と流れ方向が同じ以為、雨水の集積効果によってピークが高められるが、DMR の場合、それとは逆の現象により雨水の見かけ上の分散によって、ピークが低められ、ピーク形成に寄与しがた雨水が低減部を形成し、全体的に緩やかに流出状況を示すことになっていると思われる。この様に、本実験モデルでは、移動方向の影響が、 h_p 、立ち上がり部、低減部などに極めて明瞭に現われている。しかし、ピーク生起時間については、DMR の時、明確なピークが現われず、両者の比較を明瞭に示すことが難しかった。

ピーク水深： $h_p - D$ の関係を示すと Fig 4 の様である。各流域勾配ごとに、直線近似され、 h_p は(1)式で表わされた。 $h_p = \beta L e^{-\alpha D} \quad \dots \text{(1)}$ しかし、 S_f 大、 Y_e 大、 D 小の時には、定常性が出現し、 $h_p = h_{max}$ となり(1)式では表わせない。又 Fig 5 に移動方向の違いによるピーク水深の差の h_{dp} に対する比を示す。これによれば、 S_f が大きい程、両者の差は大きくなり、 $S_f = 0.067$ の時は、 $D = 3 \text{ cm/s}$ 以上では、 h_{dp} の 35% 程度の差が生じているが、 $D = 2 \text{ cm/s}$ では、20% 程度になっている。これは、DMR の時に $D = 2 \text{ cm/s}$ になると定常性が現われ、その為に両者の差の比が減少するのではないかだろうか。

ピーク生起時間：得られた結果を調べると次の事が判った。左は、 D が大きい程、 S_f が大きい程、 t_p が大きい程、短

かくなることが判った。
左は $-D/Y_e$ の関係を示し
したもののが Fig 6 である。

それによれば、 $D/Y_e = 1500$
以上では、DMR と UMR
とでは、違いが生じないが
その値を境に、DMR の場合、
傾きが小さくなっている
。その結果、左は(2)式で
示された。

$$\left\{ \frac{t_p}{D} = \beta L e^{-\alpha D} \right. \quad \dots \text{(2)} \\ \left. \alpha = -0.75 \quad (D/Y_e > 1500) \right.$$

なお、詳細については
講演時に発表する。

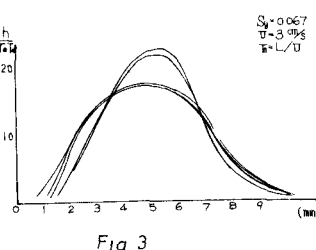


Fig 3

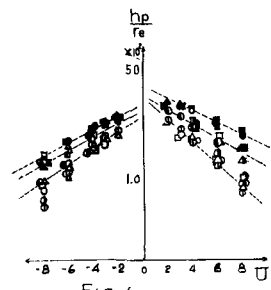


Fig 4

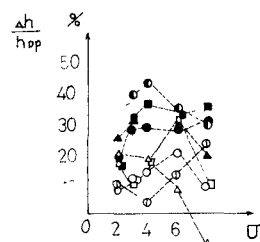


Fig 5

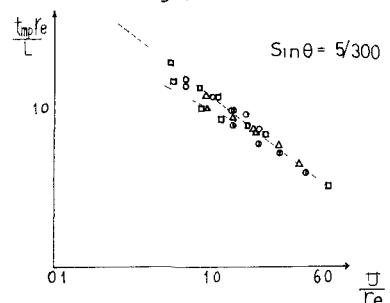


Fig 6